

回転行列のウィグナー公式と多成分量子ウォーク

宮崎 玄洋, 香取 眞理, 今野 紀雄^A
中大理工, 横浜国大^A

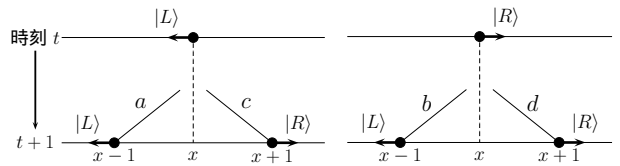
日本物理学会 2007 年春季大会
2007 年 3 月 20 日
鹿児島大学 (郡元キャンパス, 鹿児島県鹿児島市)

目次

- §1 標準量子ウォーク模型 §4 シミュレーションの結果
- §2 今野の弱収束の定理 §5 一般化された極限分布
- §3 模型の拡張 §6 今後の課題

§1 量子ウォークの定義

標準模型 (2 状態, 最近接ホッピング)



■ 量子ウォークの定義式

$$\Psi(x, t+1) = \begin{pmatrix} a \Psi_{1/2}(x+1, t) + b \Psi_{-1/2}(x+1, t) \\ c \Psi_{1/2}(x-1, t) + d \Psi_{-1/2}(x-1, t) \end{pmatrix}$$

ただし, $A = \begin{pmatrix} a & b \\ c & d \end{pmatrix} \in \text{SU}(2)$, $\Psi(x, t) = \begin{pmatrix} \Psi_{1/2}(x, t) \\ \Psi_{-1/2}(x, t) \end{pmatrix}$

■ フーリエ変換

$$\Psi(x, t) = \int_{-\pi}^{\pi} \frac{dk}{2\pi} \hat{\Psi}(k, t) e^{ikx}$$

$$\hat{\Psi}(k, t) = \sum_{x \in \mathbb{Z}} \Psi(x, t) e^{-ikx}$$

■ t ステップでの波動関数 (t = 0, 1, 2, ...)

$$\begin{pmatrix} \Psi_{1/2}(x, t) \\ \Psi_{-1/2}(x, t) \end{pmatrix} = \int_{-\pi}^{\pi} \frac{dk}{2\pi} \begin{bmatrix} e^{ik} & 0 \\ 0 & e^{-ik} \end{bmatrix} \begin{pmatrix} c e^{-i(\alpha+\gamma)/2} & -s e^{-i(\alpha-\gamma)/2} \\ s e^{i(\alpha-\gamma)/2} & c e^{i(\alpha+\gamma)/2} \end{pmatrix}^t \begin{pmatrix} q_{1/2} \\ q_{-1/2} \end{pmatrix}$$

$$\text{SU}(2) = \left\{ A = \begin{pmatrix} a & b \\ c & d \end{pmatrix} = \begin{pmatrix} a & b \\ -b^* & a^* \end{pmatrix}; a, b \in \mathbb{C}, |a|^2 + |b|^2 = 1 \right\}$$

$$= \left\{ A = \begin{pmatrix} c e^{-i(\alpha+\gamma)/2} & -s e^{-i(\alpha-\gamma)/2} \\ s e^{i(\alpha-\gamma)/2} & c e^{i(\alpha+\gamma)/2} \end{pmatrix}; c = \cos(\beta/2), s = \sin(\beta/2) \right\}$$

$\alpha, \gamma \in [-\pi, \pi], \beta \in [-\pi/2, \pi/2]$

$$\Psi(x, 0) = \delta_{x0} \begin{pmatrix} q_{1/2} \\ q_{-1/2} \end{pmatrix}, \quad |q_{1/2}|^2 + |q_{-1/2}|^2 = 1$$

§2 今野の弱収束の定理

しかし...

ユニタリ行列の固有値の絶対値は 1 (|λ| = 1) なので
波動関数 $\Psi(x, t)$ 及び確率密度 $P(x, t)$ は $t \rightarrow \infty$ の
長時間極限をとっても**収束しない**

今野の弱収束の定理 (今野紀雄氏 横浜国大工学研究院)

N.Konno: *Quantum Inf. Process* **1**, 345 (2002)

J. Math. Soc. Jpn. **57**, 1179 (2005)

量子ウォークの**擬速度** $\frac{X_t}{t}$ の任意のモーメントは
 $t \rightarrow \infty$ の長時間極限において**収束する (弱収束)**

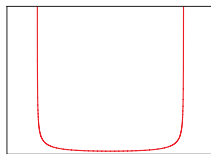
今野の分布関数

任意の $r = 0, 1, 2, \dots$ に対して

$$\lim_{t \rightarrow \infty} \left\langle \left(\frac{X_t}{t} \right)^r \right\rangle = \int_{-\infty}^{\infty} dy y^r \nu(y)$$

ただしここで, $\nu(y)$ は

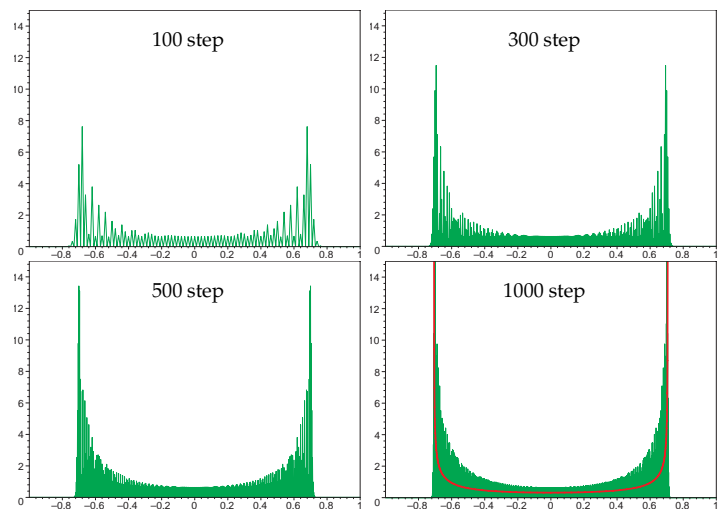
$$\mu(x; a) = \frac{\sqrt{1-a^2}}{\pi(1-x^2)\sqrt{a^2-x^2}} \mathbf{1}_{\{|x| < |a|\}}$$



$$\mathcal{M}(x) = 1 + \left[-\left\{ |q_{1/2}|^2 - |q_{-1/2}|^2 \right\} + 2\tau \text{Re} \left\{ q_{1/2} \bar{q}_{-1/2} e^{-i\gamma} \right\} \right] x$$

を用いて

$$\nu(y) = \mu \left(y; \cos \frac{\beta}{2} \right) \mathcal{M}(y)$$



§3 模型の拡張

量子力学では、回転は演算子の形で

$$\hat{R}(\alpha, \beta, \gamma) = e^{-i\alpha\hat{J}_3} e^{-i\beta\hat{J}_2} e^{-i\gamma\hat{J}_3}$$

$\hat{J} = (\hat{J}_1, \hat{J}_2, \hat{J}_3)$ は角運動量演算子ベクトル

$$[\hat{J}_k, \hat{J}_\ell] = i \sum_{m=1}^3 \varepsilon_{k\ell m} \hat{J}_m$$

$\varepsilon_{k\ell m}$: 完全反対称テンソル, $k, \ell = 1, 2, 3$

ケットベクトル $|j, m\rangle$, $j = 0, 1/2, 1, 3/2, \dots$, $m = -j, -j+1, \dots, j$ は

$$\hat{J}^2|j, m\rangle = j(j+1)|j, m\rangle, \quad \hat{J}_3|j, m\rangle = m|j, m\rangle$$

を満たすように定めた $\hat{J}^2 = \sum_{k=1}^3 \hat{J}_k^2$ と \hat{J}_3 の固有状態を意味するものとする。(以下では $\hbar = 1$ としている.)

半整数 j の値を固定して $m, m' = -j, -j+1, \dots, j$ に対して

$$R_{mm'}^{(j)}(\alpha, \beta, \gamma) = \langle j, m | \hat{R}(\alpha, \beta, \gamma) | j, m' \rangle$$

とする。これを計算すると

$$r_{mm'}^{(j)}(\beta) = \sum_{\ell} \Gamma(j, m, m', \ell) \left(\cos \frac{\beta}{2}\right)^{2j+m-m'-2\ell} \left(\sin \frac{\beta}{2}\right)^{2\ell+m'-m}$$

$$\Gamma(j, m, m', \ell) = (-1)^\ell \frac{\sqrt{(j+m)!(j-m)!(j+m')!(j-m')!}}{(j-m'-\ell)!(j+m-\ell)!\ell!(\ell+m'-m)!}$$

として

$$R_{mm'}^{(j)}(\alpha, \beta, \gamma) = e^{-i\alpha m} r_{mm'}^{(j)}(\beta) e^{-i\gamma m'}$$

となる (ウイグナーの公式)。

和 \sum_{ℓ} は階乗の指数が正または 0 (但し $0! = 1$ とする) になるようなすべての ℓ について和をとる。

具体的な表現行列

$(2j+1)$ -次元ユニタリ行列:

$$R^{(j)}(\alpha, \beta, \gamma) = (R_{mm'}^{(j)}(\alpha, \beta, \gamma)) = (e^{-i\alpha m} r_{mm'}^{(j)}(\beta) e^{-i\gamma m'})$$

$j = 1/2$ の場合 $r^{(1/2)}(\beta) = (r_{mm'}^{(1/2)}(\beta)) = \begin{pmatrix} c & -s \\ s & c \end{pmatrix}$

$j = 1$ の場合 $r^{(1)}(\beta) = (r_{mm'}^{(1)}(\beta)) = \begin{pmatrix} c^2 & -\sqrt{2}cs & s^2 \\ \sqrt{2}cs & 2c^2 - 1 & -\sqrt{2}cs \\ s^2 & \sqrt{2}cs & c^2 \end{pmatrix}$

$j = 3/2$ の場合 $r^{(3/2)}(\beta) = (r_{mm'}^{(3/2)}(\beta)) = \begin{pmatrix} c^3 & -\sqrt{3}c^2s & \sqrt{3}cs^2 & -s^3 \\ \sqrt{3}c^2s & -2cs^2 + c^3 & s^3 - 2c^2s & \sqrt{3}cs^2 \\ \sqrt{3}cs^2 & -s^3 + 2c^2s & -2cs^2 + c^3 & -\sqrt{3}c^2s \\ s^3 & \sqrt{3}cs^2 & \sqrt{3}c^2s & c^3 \end{pmatrix}$

$$c = \cos(\beta/2), \quad s = \sin(\beta/2)$$

行列やベクトルの成分を m, m' を指標として書くとき添え字の m と m' は, j から $-j$ まで大きい値から小さい値に 1 つずつ減る順番に並べて記すことにする。

多成分量子ウォーク模型の定義

時刻 t で $x \in \mathbb{Z}$ にいるウォーカーの量子状態

$$\begin{pmatrix} \Psi_{1/2}(x, t) \\ \Psi_{-1/2}(x, t) \end{pmatrix} = \int_{-\pi}^{\pi} \frac{dk}{2\pi} \begin{pmatrix} e^{ik} & 0 \\ 0 & e^{-ik} \end{pmatrix} \begin{pmatrix} c e^{-i(\alpha+\gamma)/2} & -s e^{-i(\alpha-\gamma)/2} \\ s e^{i(\alpha-\gamma)/2} & c e^{i(\alpha+\gamma)/2} \end{pmatrix}^t \begin{pmatrix} q_{1/2} \\ q_{-1/2} \end{pmatrix}$$



$$\begin{pmatrix} \Psi_{1/2}^{(j)}(x, t) \\ \Psi_{j-1}^{(j)}(x, t) \\ \vdots \\ \Psi_{-j}^{(j)}(x, t) \end{pmatrix} = \int_{-\pi}^{\pi} \frac{dk}{2\pi} \begin{pmatrix} e^{2ijk} & & & \\ & e^{2i(j-1)k} & & \\ & & \ddots & \\ & & & e^{-2ijk} \end{pmatrix} R^{(j)}(\alpha, \beta, \gamma) \begin{pmatrix} q_j \\ q_{j-1} \\ \vdots \\ q_{-j} \end{pmatrix}$$

2 成分量子ビット $\Rightarrow (2j+1)$ -成分量子ビット

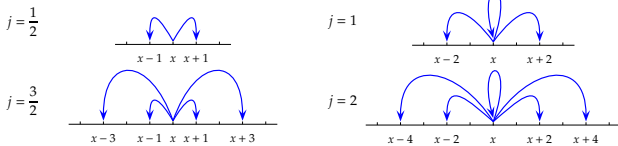
$$\mathbb{Z} = \{\dots, -2, -1, 0, 1, 2, \dots\}$$

実空間での 1 ステップ

$$\Psi_m^{(j)}(x, t+1) = \sum_{m'=-j}^j R_{mm'}^{(j)} \Psi_{m'}^{(j)}(x+2m, t)$$

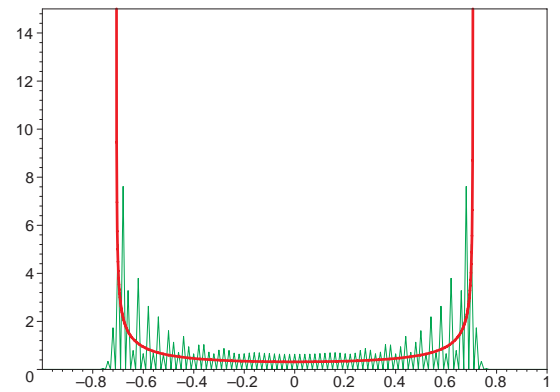
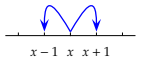
$$\Psi^{(j)}(x, 0) = \delta_{x0} \phi_0^{(j)}$$

$$\phi_0^{(j)} = \begin{pmatrix} q_j \\ q_{j-1} \\ \vdots \\ q_{-j} \end{pmatrix} \quad \text{但し} \quad \sum_{m=-j}^j |q_m|^2 = 1$$



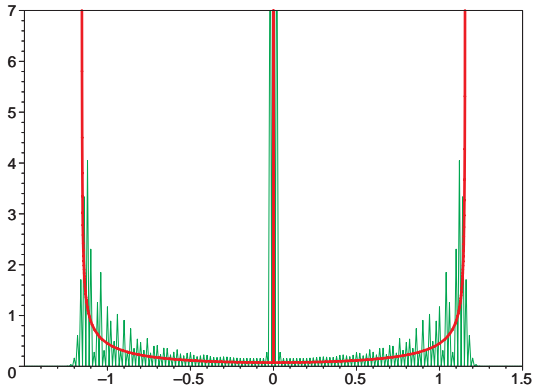
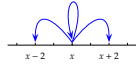
§4 シミュレーションの結果

2 状態 $\phi_0 = \frac{1}{2} \begin{pmatrix} 1+i \\ 1-i \end{pmatrix}$, $R^{(1/2)} = \frac{i}{\sqrt{2}} \begin{pmatrix} 1 & 1 \\ 1 & -1 \end{pmatrix}$



3 状態

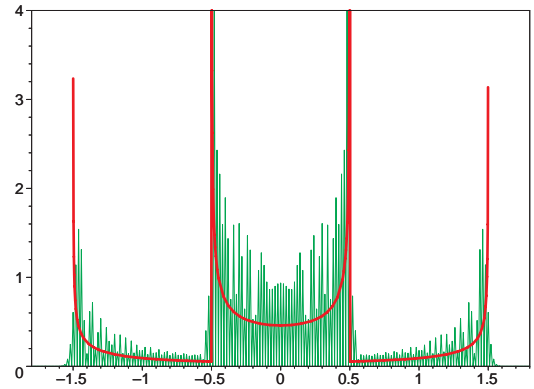
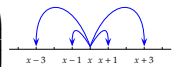
$$\phi_0 = \frac{1}{\sqrt{6}} \begin{pmatrix} 1-i \\ 1+i \\ 1-i \end{pmatrix}, \quad R^{(1)} = \frac{1}{3} \begin{pmatrix} -1 & -2 & -2 \\ -2 & -1 & 2 \\ -2 & 2 & -1 \end{pmatrix}$$



12 / 27

4 状態

$$\phi_0 = \frac{1}{2\sqrt{5}} \begin{pmatrix} 1+3i \\ 0 \\ 0 \\ -3+i \end{pmatrix}, \quad R^{(y/2)} = \frac{i}{8} \begin{pmatrix} 1 & 3 & 3\sqrt{3} & 3\sqrt{3} \\ 3 & 5 & \sqrt{3} & -3\sqrt{3} \\ 3\sqrt{3} & \sqrt{3} & -5 & 3 \\ 3\sqrt{3} & -3\sqrt{3} & 3 & -1 \end{pmatrix}$$



13 / 27

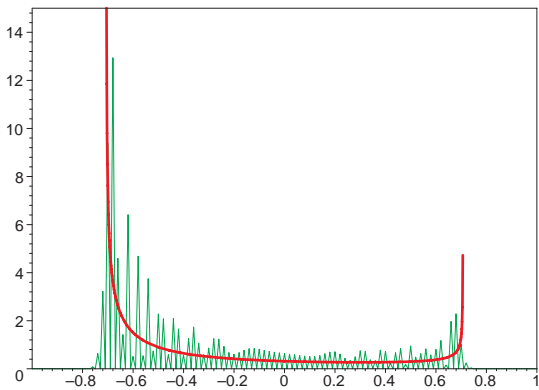
2 状態

symmetric

$$\phi_0 = \frac{1}{2} \begin{pmatrix} 1+i \\ 1-i \end{pmatrix}$$

asymmetric

$$\phi_0 = \frac{1}{2} \begin{pmatrix} 1+i \\ 1+i \end{pmatrix}$$



14 / 27

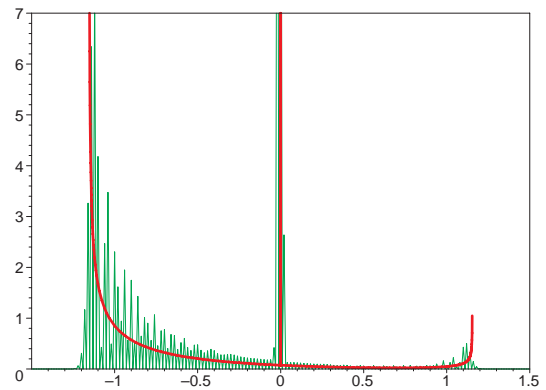
3 状態

symmetric

$$\phi_0 = \frac{1}{\sqrt{6}} \begin{pmatrix} 1-i \\ 1+i \\ 1-i \end{pmatrix}$$

asymmetric

$$\phi_0 = \frac{1}{\sqrt{6}} \begin{pmatrix} 1-i \\ 1-i \\ 1-i \end{pmatrix}$$



15 / 27

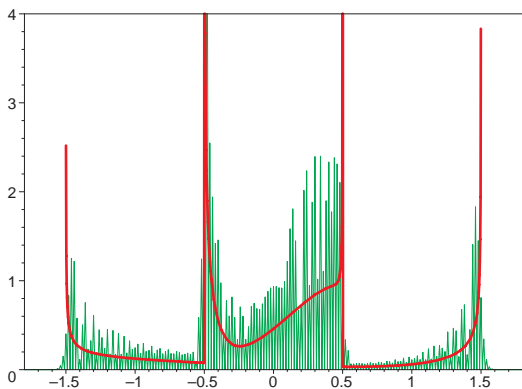
4 状態

symmetric

$$\phi_0 = \frac{1}{2\sqrt{5}} \begin{pmatrix} 1+3i \\ 0 \\ 0 \\ -3+i \end{pmatrix}$$

asymmetric

$$\phi_0 = \frac{1}{2\sqrt{5}} \begin{pmatrix} 1+3i \\ 0 \\ 0 \\ -3-i \end{pmatrix}$$



16 / 27

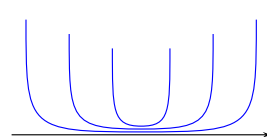
§5 一般化された極限分布

- $(2j+1)$ -成分量子ウォークの擬速度の分布は長時間極限でモーメント収束する.

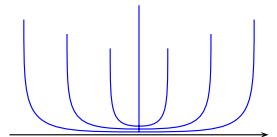
$$\lim_{t \rightarrow \infty} \left\langle \left(\frac{X_t^{(j)}}{t} \right)^r \right\rangle = \int_{-\infty}^{\infty} dy y^r \nu^{(j)}(y), \quad r = 0, 1, 2, \dots$$

- 極限分布は

$$\nu^{(j)}(y) = \sum_{m:0 < m \leq j} \frac{1}{2m} \mu \left(\frac{y}{2m}; \cos \frac{\beta}{2} \right) \mathcal{M}^{(j,m)} \left(\frac{y}{2m} \right) + \mathbf{1}_{\{(2j+1) \text{ is odd}\}} \Delta^{(j)} \delta(y)$$



qubit の成分数 $(2j+1) = \text{偶数}$
今野分布の重ね合せ



qubit の成分数 $(2j+1) = \text{奇数}$
今野分布の重ね合せ
+ デルタ関数 (局在成分)

17 / 27

今野分布の重ね合わせの重み

$$\lim_{t \rightarrow \infty} \left\langle \left(\frac{X_t^{(j)}}{t} \right)^r \right\rangle = \int_{-\infty}^{\infty} dy y^r \nu^{(j)}(y)$$

$$\nu^{(j)}(y) = \sum_{m:0 < m \leq j} \frac{1}{2m} \mu \left(\frac{y}{2m}; \cos \frac{\beta}{2} \right) \mathcal{M}^{(j,m)} \left(\frac{y}{2m} \right) + \mathbf{1}_{\{(2j+1) \text{ is odd}\}} \Delta^{(j)} \delta(y)$$

- α, β, γ パラメータ } を情報として持っている
初期 qubit
- $\mathcal{M}^{(j,m)}(x)$ は x の $2j$ -次多項式である

$j = 1/2$ の場合 (2 成分模型)

$$\mathcal{M}^{(1/2,1/2)}(x) = 1 + \mathcal{M}_1^{(1/2,1/2)} x$$

$$\mathcal{M}_1^{(1/2,1/2)} = -\{|q_{1/2}|^2 - |q_{-1/2}|^2\} + 2\tau \operatorname{Re}\{q_{1/2}\bar{q}_{-1/2}e^{-i\gamma}\}$$

$j = 1$ の場合 (3 成分模型)

$$\mathcal{M}^{(1,1)}(x) = \mathcal{M}_0^{(1,1)} + \mathcal{M}_1^{(1,1)} x + \mathcal{M}_2^{(1,1)} x^2$$

$$\mathcal{M}_0^{(1,1)} = \frac{1}{2}\{|q_1|^2 + 2|q_0|^2 + |q_{-1}|^2\} - \operatorname{Re}\{q_1\bar{q}_{-1}e^{-2i\gamma}\}$$

$$\mathcal{M}_1^{(1,1)} = -\{|q_1|^2 - |q_{-1}|^2\} + \sqrt{2}\tau \operatorname{Re}\{q_1\bar{q}_0 + q_0\bar{q}_{-1}\}e^{-i\gamma}$$

$$\mathcal{M}_2^{(1,1)} = \frac{1}{2}\{|q_1|^2 - 2|q_0|^2 + |q_{-1}|^2\} - \sqrt{2}\tau \operatorname{Re}\{q_1\bar{q}_0 - q_0\bar{q}_{-1}\}e^{-i\gamma} + (1 + 2\tau^2) \operatorname{Re}\{q_1\bar{q}_{-1}e^{-2i\gamma}\}$$

$$\Delta^{(1)} = 1 - \left\{ \mathcal{M}_0^{(1,1)} + \left(1 - \sin \frac{\beta}{2}\right) \mathcal{M}_2^{(1,1)} \right\}$$

$j = 3/2, m = 3/2$ の場合 (4 成分模型)

$$\mathcal{M}^{(3/2,3/2)}(x) = \mathcal{M}_0^{(3/2,3/2)} + \mathcal{M}_1^{(3/2,3/2)} x + \mathcal{M}_2^{(3/2,3/2)} x^2 + \mathcal{M}_3^{(3/2,3/2)} x^3$$

$$\begin{aligned} \mathcal{M}_0^{(3/2,3/2)} &= \frac{1}{4}\{|q_{3/2}|^2 + 3|q_{1/2}|^2 + 3|q_{-1/2}|^2 + |q_{-3/2}|^2\} - \frac{\sqrt{3}}{2} \operatorname{Re}\{(q_{3/2}\bar{q}_{-1/2} + q_{1/2}\bar{q}_{-3/2})e^{-2i\gamma}\} \\ \mathcal{M}_1^{(3/2,3/2)} &= -\frac{3}{4}\{|q_{3/2}|^2 + |q_{1/2}|^2 - |q_{-1/2}|^2 - |q_{-3/2}|^2\} - \frac{3}{2}\tau \operatorname{Re}\{q_{3/2}\bar{q}_{-3/2}e^{-3i\gamma} - q_{1/2}\bar{q}_{-1/2}e^{-i\gamma}\} \\ &\quad + \frac{\sqrt{3}}{2}\tau \operatorname{Re}\{(q_{3/2}\bar{q}_{1/2} + q_{-1/2}\bar{q}_{-3/2})e^{-i\gamma}\} + \frac{\sqrt{3}}{2}\tau \operatorname{Re}\{(q_{3/2}\bar{q}_{-1/2} - q_{1/2}\bar{q}_{-3/2})e^{-2i\gamma}\} \\ \mathcal{M}_2^{(3/2,3/2)} &= \frac{3}{4}\{|q_{3/2}|^2 - |q_{1/2}|^2 - |q_{-1/2}|^2 + |q_{-3/2}|^2\} - \sqrt{3}\tau \operatorname{Re}\{(q_{3/2}\bar{q}_{1/2} - q_{-1/2}\bar{q}_{-3/2})e^{-i\gamma}\} \\ &\quad + \frac{\sqrt{3}}{2}(1 + 2\tau^2) \operatorname{Re}\{(q_{3/2}\bar{q}_{-1/2} + q_{1/2}\bar{q}_{-3/2})e^{-2i\gamma}\} \\ \mathcal{M}_3^{(3/2,3/2)} &= -\frac{1}{4}\{|q_{3/2}|^2 - 3|q_{1/2}|^2 + 3|q_{-1/2}|^2 - |q_{-3/2}|^2\} + \frac{1}{2}\tau(3 + 4\tau^2) \operatorname{Re}\{q_{3/2}\bar{q}_{-3/2}e^{-3i\gamma}\} \\ &\quad - \frac{3}{2}\tau \operatorname{Re}\{q_{1/2}\bar{q}_{-1/2}e^{-i\gamma}\} + \frac{\sqrt{3}}{2}\tau \operatorname{Re}\{(q_{3/2}\bar{q}_{1/2} + q_{-1/2}\bar{q}_{-3/2})e^{-i\gamma}\} \\ &\quad - \frac{\sqrt{3}}{2}(1 + 2\tau^2) \operatorname{Re}\{(q_{3/2}\bar{q}_{-1/2} - q_{1/2}\bar{q}_{-3/2})e^{-2i\gamma}\} \end{aligned}$$

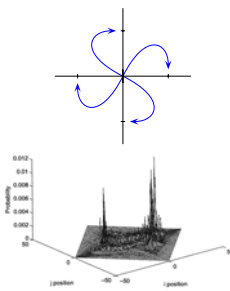
$j = 3/2, m = 1/2$ の場合 (4 成分模型)

$$\mathcal{M}^{(3/2,1/2)}(x) = \mathcal{M}_0^{(3/2,1/2)} + \mathcal{M}_1^{(3/2,1/2)} x + \mathcal{M}_2^{(3/2,1/2)} x^2 + \mathcal{M}_3^{(3/2,1/2)} x^3$$

$$\begin{aligned} \mathcal{M}_0^{(3/2,1/2)} &= \frac{1}{4}\{3|q_{3/2}|^2 + |q_{1/2}|^2 + |q_{-1/2}|^2 + 3|q_{-3/2}|^2\} + \frac{\sqrt{3}}{2} \operatorname{Re}\{(q_{3/2}\bar{q}_{-1/2} + q_{1/2}\bar{q}_{-3/2})e^{-2i\gamma}\} \\ \mathcal{M}_1^{(3/2,1/2)} &= -\frac{1}{4}\{3|q_{3/2}|^2 - 5|q_{1/2}|^2 + 5|q_{-1/2}|^2 - 3|q_{-3/2}|^2\} + \frac{9}{2}\tau \operatorname{Re}\{q_{3/2}\bar{q}_{-3/2}e^{-3i\gamma}\} \\ &\quad - \frac{1}{2}\tau \operatorname{Re}\{q_{1/2}\bar{q}_{-1/2}e^{-i\gamma}\} + \frac{\sqrt{3}}{2}\tau \operatorname{Re}\{(q_{3/2}\bar{q}_{1/2} + q_{-1/2}\bar{q}_{-3/2})e^{-i\gamma}\} \\ &\quad - \frac{3\sqrt{3}}{2} \operatorname{Re}\{(q_{3/2}\bar{q}_{-1/2} - q_{1/2}\bar{q}_{-3/2})e^{-2i\gamma}\} \\ \mathcal{M}_2^{(3/2,1/2)} &= -\frac{3}{4}\{|q_{3/2}|^2 - |q_{1/2}|^2 - |q_{-1/2}|^2 + |q_{-3/2}|^2\} + \sqrt{3}\tau \operatorname{Re}\{(q_{3/2}\bar{q}_{1/2} - q_{-1/2}\bar{q}_{-3/2})e^{-i\gamma}\} \\ &\quad - \frac{\sqrt{3}}{2}(1 + 2\tau^2) \operatorname{Re}\{(q_{3/2}\bar{q}_{-1/2} + q_{1/2}\bar{q}_{-3/2})e^{-2i\gamma}\} \\ \mathcal{M}_3^{(3/2,1/2)} &= \frac{3}{4}\{|q_{3/2}|^2 - 3|q_{1/2}|^2 + 3|q_{-1/2}|^2 - |q_{-3/2}|^2\} - \frac{3}{2}\tau(3 + 4\tau^2) \operatorname{Re}\{q_{3/2}\bar{q}_{-3/2}e^{-3i\gamma}\} \\ &\quad + \frac{9}{2}\tau \operatorname{Re}\{q_{1/2}\bar{q}_{-1/2}e^{-i\gamma}\} - \frac{3\sqrt{3}}{2}\tau \operatorname{Re}\{(q_{3/2}\bar{q}_{1/2} + q_{-1/2}\bar{q}_{-3/2})e^{-i\gamma}\} \\ &\quad + \frac{3\sqrt{3}}{2}(1 + 2\tau^2) \operatorname{Re}\{(q_{3/2}\bar{q}_{-1/2} - q_{1/2}\bar{q}_{-3/2})e^{-2i\gamma}\} \end{aligned}$$

§6 今後の課題

- $\mathcal{M}^{(j,m)}$ の一般的な表式
 $j = 1/2, 1, 3/2$ は完全に求まった
↓
一般形は?
- 1 次元 → 2 成分, 3 成分, 4 成分, ...
↓
2 次元 (正方格子) → 4 成分, ...
↓
3 次元 (立方格子) → 6 成分, ...



S. E. Venegas-Andraca, et al. *New J. Phys.* 7, 221 (2005)

- N. Inui, Y. Konishi, and N. Konno, *PRA* 69, 052323 (2004)
- G. Grimmett, S. Janson, and P. F. Scudo, *PRE* 69, 026119 (2004)

Wigner formula of rotation matrices and quantum walks
T. Miyazaki, M. Katori, and N. Konno (quant-ph/0611022)

APPENDIX A: 実験について

Bouwmeester et al. : *Optical Galton board*, *PRA* 61, 013410 (1999)

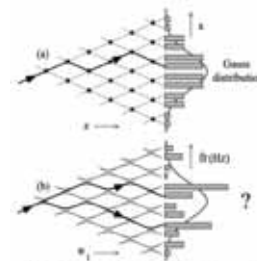


FIG. 1. (a) The classical Galton board, showing downwards in the direction, yields a Gaussian distribution function for the final position of the particle along the z axis. The dots represent pins at which the balls are scattered. (b) The grid of Lennard-Jones potentials which is the quantum-mechanical analog of the classical Galton board; τ indicates the frequency axis, and θ , ϕ , is a constant parameter which is proportional to time.

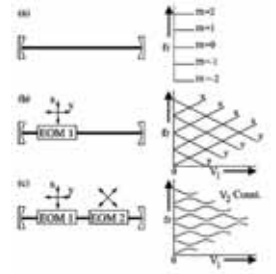


FIG. 2. (a) Schematic of a three optical resonator which has eigenmodes (angular) modes $(m=0, \pm 1, \pm 2)$. (b) Including a dielectric modulator (EOM1) inside the resonator, and increasing the voltage V_1 across the modulator, leads to coupling levels with orthogonal polarizations \uparrow and \downarrow . (c) Including a second modulator (EOM2) inside the resonator, second polarizer \downarrow with respect to the optical axis of EOM1 and with a constant applied voltage V_2 , leads to each level coupling into an avoided crossing θ under laser excitation.

Oka, Konno, Arita and Aoki : Breakdown of an Electric-Field Driven System:
A Mapping to a Quantum Walk, PRL **94**, 100602 (2005).

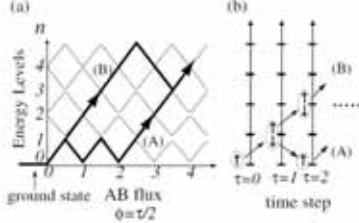


FIG. 1. (a) Idealized energy levels of an electron system on a ring plotted against the AB flux $\phi = FLt/\hbar$, which increases linearly with time after the electric field F is turned on at $t = 0$. Two paths (A and B) for the Landau-Zener transition among neighboring levels are shown. (b) A mapping to a quantum walk, where the energy levels are mapped to sites of the qubits and the ground state to a reflecting boundary.

APPENDIX B: 計算の詳細

$\hat{\Psi}^{(j)}(k, t)$ の表式

$$V^{(j)}(k) = R^{(j)}(\phi(k), \theta(k), 0)R^{(j)}(-p(k), 0, 0)[R^{(j)}(\phi(k), \theta(k), 0)]^\dagger$$

- $\mathbf{v}_m^{(j)}(k) : R^{(j)}(\phi(k), \theta(k), 0)$ の m 番目の列ベクトル
- $C_m^{(j)}(k) \equiv [\mathbf{v}_m^{(j)}(k)]^\dagger \phi_0^{(j)}$

$$\hat{\Psi}^{(j)}(k, t) = \left(V^{(j)}(k)\right)^t \phi_0^{(j)} = \sum_{m=-j}^j e^{i t m p(k)} \mathbf{v}_m^{(j)}(k) C_m^{(j)}(k)$$

$$[R^{(j)}]^\dagger = [R^{(j)}]^{-1} \Leftrightarrow [\mathbf{v}_m^{(j)}(k)]^\dagger \mathbf{v}_{m'}^{(j)}(k) = \delta_{mm'}$$

$$[\hat{\Psi}^{(j)}(k, t)]^\dagger \left(i \frac{d}{dk}\right)^r \hat{\Psi}^{(j)}(k, t) = \sum_{m=-j}^j \left(-m \frac{dp(k)}{dk}\right)^r |C_m^{(j)}(k)|^2 t^r + \mathcal{O}(t^{r-1})$$

擬速度のモーメント

$$\left\langle (X_t^{(j)})^r \right\rangle = \int_{-\infty}^{\infty} \frac{dk}{2\pi} [\hat{\Psi}^{(j)}(k, t)]^\dagger \left(i \frac{d}{dk}\right)^r \hat{\Psi}^{(j)}(k, t)$$

$r = 1, 2, 3, \dots$ としたときの r -次モーメントは

$$\lim_{t \rightarrow \infty} \left\langle \left(\frac{X_t^{(j)}}{t}\right)^r \right\rangle = \sum_{m: 0 < m \leq j} I_m^{(j)}(r)$$

$$I_m^{(j)}(r) = \int_{-\pi}^{\pi} \frac{dk}{2\pi} \left\{ (-1)^r |C_m^{(j)}(k)|^2 + |C_{-m}^{(j)}(k)|^2 \right\} \left(m \frac{dp(k)}{dk}\right)^r$$

j が半奇数なら $m = 1/2, 3/2, \dots, j$
 j が正の整数なら $m = 1, 2, \dots, j$

軌道平面

$$\mathbf{p}(k) = (p_1(k), p_2(k), p_3(k)) \quad \hat{\mathbf{e}}_1 = (-\sin \gamma, -\cos \gamma, 0)$$

$$p_1(k) = p(k) \sin \theta(k) \cos \phi(k) \quad \hat{\mathbf{e}}_2 = \left(\sin \frac{\beta}{2} \cos \gamma, -\sin \frac{\beta}{2} \sin \gamma, -\cos \frac{\beta}{2}\right)$$

$$p_2(k) = p(k) \sin \theta(k) \sin \phi(k) \quad \hat{\mathbf{e}}_3 = \left(\cos \frac{\beta}{2} \cos \gamma, -\cos \frac{\beta}{2} \sin \gamma, \sin \frac{\beta}{2}\right)$$

$$p_3(k) = p(k) \cos \theta(k)$$

$$\mathbf{p}(k) \perp \hat{\mathbf{e}}_3 \quad \text{for all } k \in [-\pi, \pi)$$

軌道平面上の極座標 $(p(k), \chi)$:

$$\cos \chi \equiv \hat{\mathbf{p}}(k) \cdot \hat{\mathbf{e}}_1, \quad \hat{\mathbf{p}}(k) = \mathbf{p}(k)/p(k) \quad \Rightarrow \quad \tan \frac{p(k)}{2} = \tan \frac{\beta}{2} \frac{1}{\cos \chi}$$

$\chi \rightarrow y$ と変数変換

$$\lim_{t \rightarrow \infty} \left\langle \left(\frac{X_t^{(j)}}{t}\right)^r \right\rangle = \int_{-\infty}^{\infty} dy y^r \nu^{(j)}(y), \quad r = 0, 1, 2, \dots$$

$$\nu^{(j)}(y) = \sum_{m: 0 < m \leq j} \frac{1}{2m} \mu \left(\frac{y}{2m}; \cos \frac{\beta}{2}\right) \mathcal{M}^{(j, m)} \left(\frac{y}{2m}\right) + \mathbf{1}_{\{(2j+1) \text{ is odd}\}} \Delta^{(j)} \delta(y)$$